



смещением, а при стержнях Ø25 и более соединений выполненных ванно-шовным способом на стальной скобе-накладке. В силу более высоких физико-механических характеристик арматурного проката А500С перед А400С и трудоемкостью ванно-шовного соединения, основная масса стыков припадает на стык С21Рн по ГОСТу 14098-91 “Соединения сварные арматуры и закладных изделий железобетонных конструкций. Типы, конструкции и размеры”. Данный нормативный акт в силу своего более раннего издания не имеет указаний по применению проката класса А500С.

Задачей данных исследований было:

1. Получение экспериментальных данных по работе сварных стыков со смещением боковых накладок согласно ГОСТ и без смещения (Рис.1. и Рис. 2.).
2. Влияние смещения боковых накладок на кратковременную малоцикловую усталость.

В Национальной академии природоохранного и курортного строительства нами была составлена программа, определена методика исследования и проведены испытания сварных стыков из арматуры класса А500С [7, 8, 9, 10, 11].

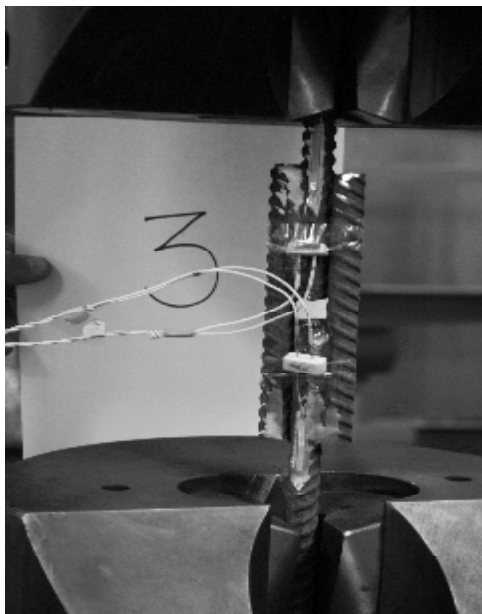


Рис. 1. Испытание образцов с боковыми накладками без смещения

Fig. 1. The test samples with side plates without bias

Для исследования работы сварных соединений было изготовлено 2 серии образцов по 16 стыков.

Применялась арматура Ø 16 класса А500С по ДСТУ 3760:2006. Сварка выполнялась вручную, на постоянном токе обратной полярности с односторонними протяженными швами в шахматном порядке. Электроды для сварки применялись с основным покрытием типа Э55А, марки УОНИ 13/55 Ø3 (Рис. 2, 3).

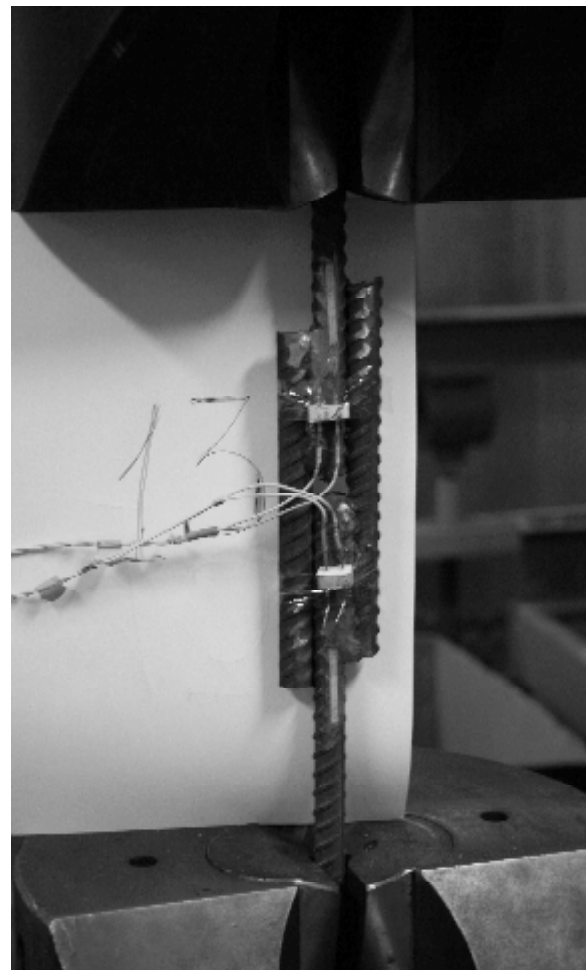


Рис. 2. Испытание образцов с боковыми накладками со смещением

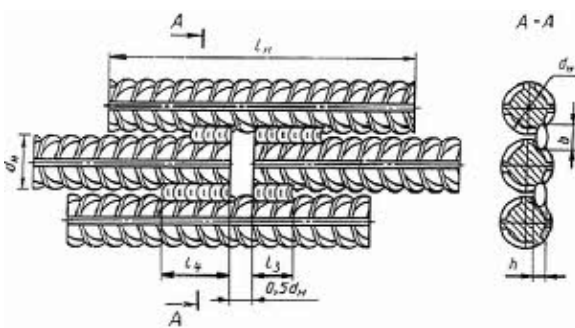
Fig. 2. The test samples with side plates with bias



Рис. 3. Сварочные материалы

Fig. 3. Welding materials

## ВЛИЯНИЕ НЕСИММЕТРИЧНОСТИ РАСПОЛОЖЕНИЯ НАКЛАДОК В СТЫКЕ



(где с – отсчет по прибору, измеряется в R (Ом)).

Оценка напряжений осуществляется путем измерения деформаций материала. Для перехода от измеренных деформаций к напряжениям в упругой стадии работы материала используют закон Гука, а в пластической – зависимостью между приведенными деформациями и приведенными напряжениями.

Испытания проходили следующим образом:

1. Из каждой серии из 16 сварных соединений один образец загружался ступенчато по 2,5 т. с доведением до разрушения. Остальные 15 стыков поделили на 5 партий по 3 шт., которые ступенчато загружались по 2,5 т. до 10 т. с последующей разгрузкой стыка (Рис. 8.). Различные партии подвергали 3, 5, 7, 10 и 15 циклов нагружений с последующим разрушением.

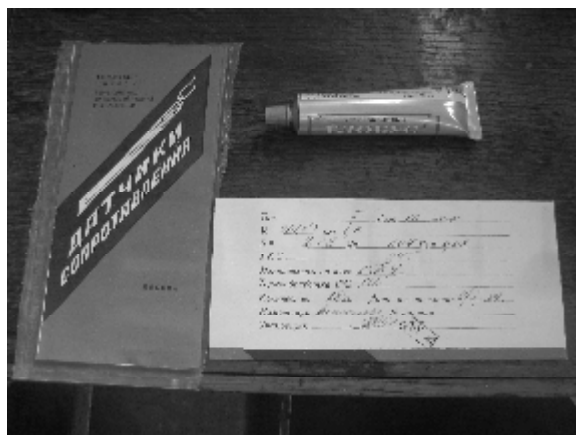


Рис. 5. Материалы для тензометрии

Fig. 5. Materials for tensometry

После этого, по ранее известной методике проведения тензометрических исследований были наклеены измерительные приборы (Рис. 5.). Тензодатчики устанавливают в точках возможных деформаций (Рис. 6.). Испытания проводились на разрывной машине МР-50 (Рис. 7.)

Величину деформации вычисляют через разность показаний двух отсчетов по цифровому тензометрическому мосту (1):

$$\epsilon = c_1 - c_0, \quad (1)$$

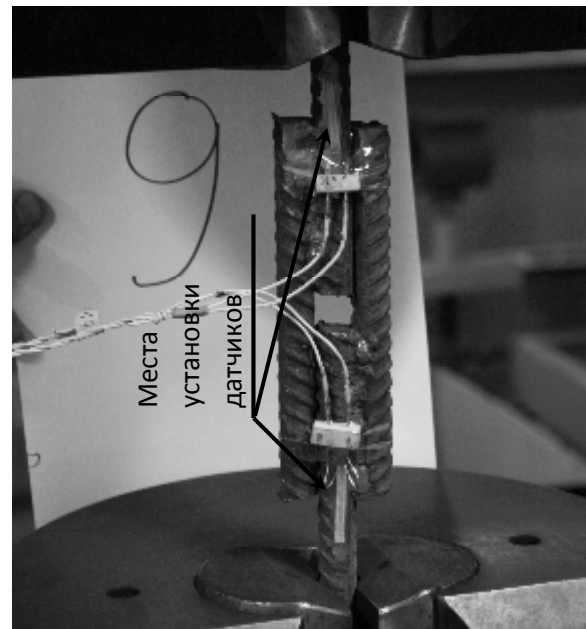


Рис. 6. Места установки тензодатчиков

Fig. 6. Installation locations strain gauges

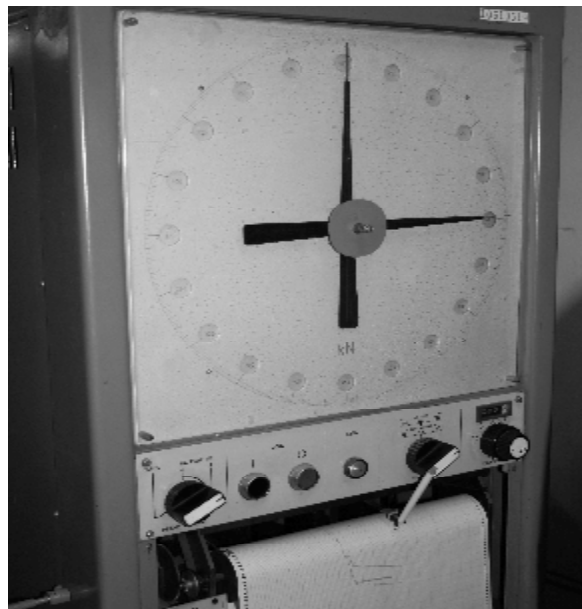


Рис. 7. Разврываема машина MR-50

Fig. 7. Breaking machine MR-50

2. Каждый этап контролировался показаниями тензодатчиков (Рис. 9).

3. Также в виде контрольного было испытан стержень в стадии поставки. (Рис. 10).

4. Проводились замеры длины образцов до и после испытаний.

Результаты испытаний сведены в таблицы (Табл.1. и Табл.2.) и графики.

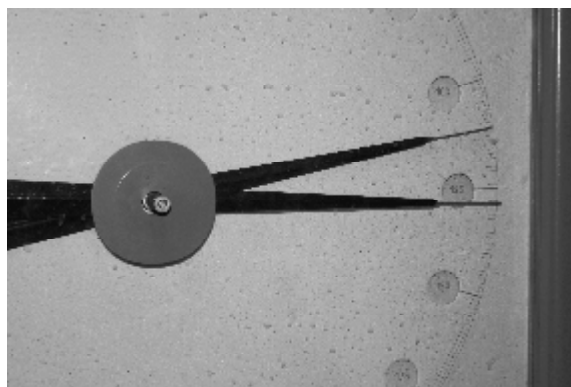


Рис. 8. Ступенчатое загружение образцов с последующим доведением до разрушения

Fig. 8. Step uploading samples, followed by adjustment to failure

Табл.1. Серия с боковыми накладками без смещения

Table 1. Series with side plates without bias

|           | № образца | Удлинение, % | Усилие на разрыв, т. | Среднее усилие на разрыв, т. |
|-----------|-----------|--------------|----------------------|------------------------------|
| 1 цикл    | 1         | ≈ 8          | 12,5                 | 12,5                         |
| 3 цикла   | 2         |              | 12,7                 |                              |
|           | 3         | ≈ 8          | 12,5                 | 12,5                         |
|           | 5         |              | 13,3                 |                              |
| 5 циклов  | 6         |              | 12,5                 |                              |
|           | 7         | ≈ 8          | 12,8                 | 12,7                         |
|           | 8         |              | 12,8                 |                              |
| 7 циклов  | 9         |              | 12,6                 |                              |
|           | 10        | ≈ 8          | 12,4                 | 12,64                        |
|           | 11        |              | 12,92                |                              |
| 10 циклов | 12        |              | 12,6                 |                              |
|           | 14        | ≈ 8          | 12,5                 | 12,5                         |
|           | 15        |              | 12,4                 |                              |
| 15 циклов | 16        |              | 12,5                 |                              |
|           | 17        | ≈ 8          | 12,5                 | 12,46                        |
|           | 18        |              | 12,04                |                              |

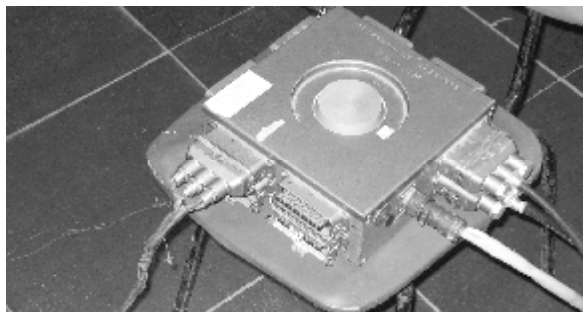
ВЛИЯНИЕ НЕСИММЕТРИЧНОСТИ РАСПОЛОЖЕНИЯ НАКЛАДОК В СТЫКЕ

А)

Табл.2. Серия с боковыми накладками со смещением

Table 2. Series with side plates shifted

|           | № образца | Удлинение, % | Усилие на разрыв, т. | Среднее усилие на разрыв, т. |
|-----------|-----------|--------------|----------------------|------------------------------|
| эталон    | 4         | $\approx 8$  | 12,8                 | 12,8                         |
| 1 цикл    | 34        | $\approx 8$  | 12,6                 | 12,6                         |
| 3 цикла   | 20        | $\approx 8$  | 12,6                 |                              |
|           | 32        | $\approx 8$  | 12,48                | 12,6                         |
|           | 33        |              | 12,72                |                              |
| 5 циклов  | 29        | $\approx 8$  | 12,58                |                              |
|           | 30        | $\approx 8$  | 13,16                | 12,85                        |
|           | 31        |              | 12,8                 |                              |
| 7 циклов  | 26        | $\approx 8$  | 12,88                |                              |
|           | 27        | $\approx 8$  | 12,76                | 12,75                        |
|           | 28        |              | 12,6                 |                              |
| 10 циклов | 13        | $\approx 8$  | 12,7                 |                              |
|           | 24        | $\approx 8$  | 12,96                | 12,63                        |
|           | 25        |              | 12,24                |                              |
| 15 циклов | 21        | $\approx 8$  | 12,56                |                              |
|           | 22        | $\approx 8$  | 12,44                | 12,53                        |
|           | 23        |              | 12,58                |                              |



Б)

Рис. 9. Снятие показаний тензометрии  
А) ЦТМ-3; Б) ПД-100М  
Fig. 9. Reading of tensometry  
A) CTM-3; B) PD-100M



Рис. 10.. Испытания арматурного стержня в стадии поставки  
Fig. 10. Tests a reinforcing bar being supply



